



خود تمیز شوندگی لکه متیلن بلو و اسید بلو ۱۱۳ روی پارچه پشم / پلی استر عمل شده با نانو دی اکسید تیتانیوم زیر نور فرابنفش بدون زردی

* سعیدرا سیف‌الله زاده^۱، مجید منتظر^۲

- ۱- کارشناس ارشد، دانشکده نساجی، دانشگاه صنعتی امیرکبیر، تهران، ایران، صندوق پستی: ۱۵۸۷۵-۴۴۱۳
۲- دانشیار، دانشکده نساجی، قطب علمی نساجی، دانشگاه صنعتی امیرکبیر، تهران، ایران، صندوق پستی: ۱۵۸۷۵-۴۴۱۳
تاریخ دریافت: ۱۳۸۸/۸/۳ تاریخ پذیرش: ۱۳۸۹/۱/۳۱ در دسترس به صورت الکترونیکی از: ۱۳۸۹/۶/۲۰

چکیده

این تحقیق به منظور ایجاد ویژگی خود تمیز شوندگی روی کالای پشم / پلی استر به کمک نانو ذرات دی اکسید تیتانیوم انجام شده است. به منظور جذب بهتر نانو ذرات روی کالا، اکسید اسیون جزء پشمی توسط پرمنگنات پتابسیم انجام شده است. همچنین برای تشییت ذرات نانو دی اکسید تیتانیوم روی سطح پارچه از پیوند دهنده شیمیایی بوتان تترا کربوکسیلیک اسید استفاده شده است. ویژگی خود تمیز شوندگی کالا توسط لکه‌گذاری سطحی با رنگزه‌های متیلن بلو و اسید بلو ۱۱۳ بررسی شده و به علاوه برخی دیگر از ویژگی‌های کالا مانند زمان جذب قطره آب، زاویه بازگشت از چروک، خمش پارچه و شاخص زردی آزمون و نتایج گزارش شده‌اند. همچنین در بررسی طیف FT-IR برخی از نمونه‌ها افزایش گروه‌های عاملی در منسوج پس از آماده‌سازی کالا مشاهده شده است. اختلاف رنگ منسوجات آماده و پیوند شده با TiO_2 بعد از پرتودهی با پرتو فرابنفش نسبت به قبل از پرتودهی ویژگی خود تمیز شوندگی را به خوبی نشان می‌دهند. همچنین طیف انعکاسی در محدوده فرابنفش نشان می‌دهند که وجود ذرات نانو دی اکسید تیتانیوم به جذب تابش فرابنفش کمک کرده و از زرد شدن کالا جلوگیری کرده است.

واژه‌های کلیدی: خود تمیز شوندگی، نانو دی اکسید تیتانیوم، پشم / پلی استر، پرتو فرابنفش، زردی.

Self-cleaning of Methylene Blue and Acid Blue 113 on Wool/Polyester Fabric Treated with Nano Titanium Oxide under UV Irradiation without Yellowing

S. Seifolahzadeh, M. Montazer*

Textile Engineering Department, Amirkabir University of Technology, Center of Excellence in Textile, P.O.Box: 15875-4413, Tehran, Iran

Abstract

This research aims to create the selfcleaning property on wool/ polyester fabric using TiO_2 nano-particles. In order to provide the fabric with higher absorption of nanoparticles, the oxidation of wool with $KMnO_4$ were carried out. The crosslinking agent namely butane tetra carboxylic acid (BTCA) was used to stabilize the nanoparticles on the fabric surface. To investigate the properties on the treated fabric, discoloration of Methylene Blue and Acid Blue 113 stains, water drop absorption, crease recovery angle, yellowing and bending of the fabric were examined and the results reported. Furthermore, the FT-IR spectrum of some samples was analyzed. The changes in color differences for different samples showed that an appropriate discoloration achieved on the fabric samples treated with TiO_2 after UV radiation. Also the reflectance spectrum of samples was investigated and the results confirmed the UV absorption by TiO_2 nano particles that protect the fabric from yellowing. *J. Color Sci. Tech.* 4(2010), 115-123 © Institute for Color Science and Technology.

Keywords: Self-cleaning, Nano TiO_2 , Wool/Polyester, UV irradiation, Yellowing.

است. البته گزارش‌هایی از تهیه فیلم TiO_2 به روش سل-ژل در دمای پایین گزارش شده است، مثل رسوب TiO_2 روی پلیمر PMMA و پلی کربنات به روش سل-ژل. در یکی از این روش‌ها شرایط آزمایش برای آماده سازی لایه فعال SiO_2/TiO_2 با خاصیت فتوکاتالیستی در محدوده سازگار با پایداری حرارتی پنبه، غربال شده است. هر چه سطح مخصوص TiO_2 بیشتر باشد، به آماده سازی در دمای پایین کمک بیشتری می‌کند. SiO_2 به عنوان چسب انتخاب شده است که در طی عملیات فتوکاتالیست قوی TiO_2 تجزیه نمی‌شود. لایه آمیزه SiO_2/TiO_2 باید از حمله h_{vb}^+ تولید شده با TiO_2 تحت پرتوودهی به سطح پنبه جلوگیری کند. آزمایشات اولیه رنگبری لکه شربت حاکی از آن است که مخلوط کلوجید SiO_2/TiO_2 عملکرد بهتری نسبت به کلوجید TiO_2 تنها در بی‌رنگ کردن نوری لکه شربت دارد. چون SiO_2 جذب شربت قرمز را افزایش می‌دهد، ترکیبات آلی تخریب می‌شود که این تخریب توسط TiO_2 فعال نوری صورت می‌گیرد که در برخورد نزدیک با لایه‌های محاطی SiO_2 است. هرمن^۵ فعالیت نوری برتر SiO_2/TiO_2 نسبت به TiO_2 را ناشی از نور جذب نشده توسط TiO_2 می‌داند که از سطح SiO_2 منعکس می‌شود، البته به شرطی که فیلم به اندازه کافی نازک باشد [۷].

پیش عملیات‌های امواج رادیویی، امواج مایکروویو و امواج فرابنفش - خلاء روی منسوجات مصنوعی برای بارگذاری TiO_2 و امکان پیوند مناسب با سطح پلی استر و پشم/پلی آمید به روش پوشش شامل نانوذرات مورد استفاده قرار گرفته‌اند. این منسوجات بارگذاری شده تحت نور مرئی، در هوا و شرایط ملایم، فعالیت فتوکاتالیستی قابل توجهی را نشان داده‌اند که لکه‌های رنگدانه پایدار را بی‌رنگ و معدنی می‌کنند. این بی‌رنگی شامل حساس‌سازی با نور مرئی در رنگدانه‌های آلی لکه‌های منسوج بارگذاری شده با TiO_2 است. این پیش عملیات‌ها در دمای کم و تحت فشار کم و فقط در لایه سطحی از ۱ تا ۲۰ nm اصلاح را انجام می‌دهند. اصلاح ساختار سطحی با ارائه چکالی متفاوتی از گروه‌های منفی همراه است و بدین ترتیب TiO_2 به سطح منسوج چسبیده و با مبدل Ti^{+4} , شارژ باقی‌مانده +۳ می‌شود [۸].

کراتین دسته‌ای از الیاف بیولوژیکی پروتئینی محکم و غیر قابل حل است که ناشی از تشکیل پیوند پیپتیدی است که از ردیف‌های مجاور هم آمینو اسید ناشی می‌شود. اسید آمینه‌های شامل سولفور و سیستئین توانایی تشکیل پل دی‌سولفیدی و پیوند عرضی را می‌دهند که استحکام و پایداری گرمایی این مواد را در پی دارد و سبب تشکیل دسته مهمی از مواد لیفی نظیر پشم، ابریشم و کنف می‌شوند. الیاف پروتئینی خواص فیزیکی و فرآیند پذیری عالی دارند. واکنش پذیری ذاتی زنجیرهای پلی‌پیپتیدی می‌توانند اصلاح شوند. گروه‌های عاملی موجود روی کراتین، سبب ایجاد خواص عالی خودتمیزشوندگی و

۱- مقدمه

تولید منسوجات با خاصیت خودتمیزشونده به صورت رنگبری لکه‌ها در اثر تابش نور با پایداری در برابر ۲۵-۳۰ چرخه شستشو، موضوعی قابل توجه در صنعت نساجی است. خودتمیزشوندگی در سطح منسوج و با تابش نور خورشید حاصل می‌شود [۱]. هدف از خودتمیزشوندگی از بین بردن لکه‌ها بدون دخالت مواد شوینده و تنها با نور است. در دهه اخیر دی‌اسکسید تیتانیوم (TiO_2), از بهترین گزینه‌ها برای کاربردهای فتوکاتالیستی شناخته شده است. فعالیت ذرات نانو TiO_2 , ناشی از نسبت سطح بر واحد حجم زیاد آن است که تحت نور خورشید فعالیت اکسایشی قابل توجهی را نشان می‌دهد. اخیراً در صنعت نساجی، برای بی‌رنگ کردن لکه‌های ناشی از قوه، شربت و رنگدانه‌های رنگی روی منسوجات از TiO_2 استفاده شده است. برای اینکه فعالیت فتوکاتالیستی انجام شود، TiO_2 نیاز به جذب انرژی برابر یا بیشتر از اختلاف انرژی بین دو تراز^۱ دارد که سبب انتقال الکترون از تراز ظرفیت به تراز رسانا شده و حفره با شارژ مشبت تولید می‌شود. الکترون با اکسیژن هوا و حفره با بخار آب واکنش داده و به ترتیب آبیون سوبر اسکسید و رادیکال هیدروکسیل تولید می‌کنند [۲-۵].

برای تثبیت TiO_2 به سطح منسوجات مختلف روش‌های مختلفی به کار گرفته شده است و نتایج خودتمیزشوندگی در آنها به عوامل مختلفی بستگی داشته است. در یکی از این روش‌ها برای تثبیت TiO_2 به سطح پنبه از پیش عملیات، امواج رادیویی، امواج مایکروویو، امواج فرابنفش - خلاء^۲ استفاده شده است. بدین ترتیب سطح پنبه تغییر کرده و اصلاح طوری صورت می‌گیرد که گروه‌های عاملی با شارژ منفی روی سطح پنبه ایجاد می‌شود. بارگذاری پودر Degussa-P25 که شامل ۸۰٪ آناتاز و ۲۰٪ روتاپل است، روی پنبه با اندازه کریستالی ۴۰-۳۰ nm، بهترین نوع TiO_2 برای حذف رنگدانه‌های لکه شربت است. طبق ارزیابی‌های صورت گرفته، پنهانی که از قبل تحت این تراز اصلاح طوری صورت گرفته و پس از لکه‌دار شدن تحت پرتوودهی ۲۴ ساعته قرار گرفته است، بیشترین مقدار CO_2 را رها می‌کند که اشاره به تجزیه و معدنی شدن لکه دارد [۱,۶].

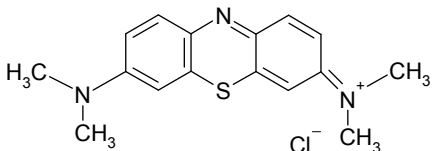
یکی از نوآوری‌ها در تهیه پارچه پنبه ای خودتمیز شونده، فیلم‌های نازک نانو خوش‌های TiO_2 را شامل می‌شود که روی سطح منسوج می‌نشینند. لایه‌های نازک سل-ژل بر پایه TiO_2 نیاز به دمای عملیات بیش از ۳۰۰°C برای تولید فیلم نازک با فاز بلوری شده است. پنبه دارای مقاومت حرارتی کمی است. بیشترین حرارتی که پنبه بدون تخریب می‌تواند تحمل کند ۱۰۰°C به مدت ۱۰ دقیقه

1- Band-gap

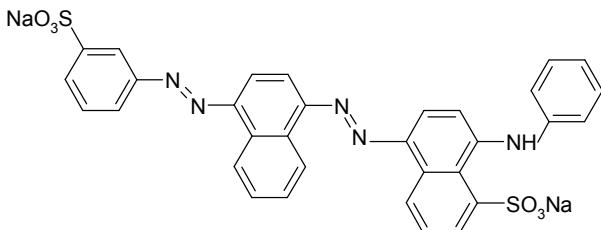
2- RF-Plasma

3- MW-Plasma

4- Vacuum-UV



ساختار ۱: متیلن بلو.



ساختار ۲: اسید بلو ۱۱۳.

۲-۲ روش کار

از ترازوی دیجیتالی با دقت ۰,۰۰۰ گرم (Sartorius)، حمام فراصوت ۵ کیلو هرتز، ۵۰ وات به حجم یک لیتر، آن، لامپ فرابینفش ۸ وات فیلیپس ساخت کشور هلند، اسپکتروفوتومتر مدل 98 (Datacolor Varian-Cary، دستگاه اسپکتروفوتومتر انعکاسی (500 scan) با محدوده طول موج ۳۳۰-۷۵۰ نانومتر ساخت استرالیا، بازگشت از چروک Shirley و طول خمش Shirley استفاده گردید.

آماده‌سازی منسوج و دیسپرسیون نانو دی اکسید تیتانیوم
دیسپرسیون با مقادیر مختلف از TiO₂ به همراه BTCA و SHP، به عنوان کاتالیزور در آب قطره‌آماده شده و به مدت ۱۰ دقیقه در حمام فراصوت قرار داده شد.
نمونه‌های منسوج در ابعاد ۵×۵ cm تهیه شدند. ابتدا نمونه‌ها برای ایجاد گروههای منفی بیشتر مانند COO⁻, O-O⁻ و با (%) ۳ (W/W) پرمنگات پتاسیم (درصد وزنی مواد نسبت به وزن پارچه) و (g/L) ۱۰ کلرید سدیم به مدت ۲۰ دقیقه در حمام فراصوت، اکسید می‌شوند. سپس با (%) ۵ (W/W) هیدروسلوفلیت سدیم در محیط اسیدی شده با اسید سولفوریک با pH=۴ احیا نجام می‌شود. سپس منسوجات با توجه به آزمایش‌های طرح شده در زمان‌های مختلف در محلول از قبل پراکنده شده در حمام فراصوت غوطه‌ور گردیدند. نمونه‌ها در دمای ۷۰°C خشک و در دمای ۱۸۰°C به مدت ۹۰ ثانیه پخت شدند. بعد از انجام عملیات پخت، نمونه‌ها به مدت ۵ دقیقه در حمام فراصوت قرار گرفتند تا ذرات TiO₂ پیوند داده نشده از سطح منسوج جدا شود. پیوند نانو TiO₂ با سطح پارچه طبیعت الکترواستاتیک دارد، یعنی TiO₂ نیمه رسانا شارژ مثبت و سطح منسوج اکسید شده شارژ منفی دارد.

محافظت در برابر پرتو فرابینفش می‌شوند. TiO₂ افتینه زیادی به گروههای هیدروکسیل و کربوکسیل دارد. کراتین شامل حدوداً ۵٪ از این گروههای عاملی است. آسیلاتیون الیاف با اندیزید اسید، اجازه غنی‌سازی گروههای کربوکسیلیک را می‌دهد. در این صورت گروههای عاملی قوی روی نمونه علاوه بر گروههای عاملی اسیدهای آمینه پشم مثل آمین و هیدروکسیل ایجاد می‌شود. گروههای عاملی باقی‌مانده روی اسیدهای آمینه مانند آمین، فنل، تیول و ... نیز مکان‌های مناسبی برای واکنش پایدار با نانو بلور آناتاز هستند [۹].

یکی از روش‌های مورد استفاده برای ثبیت TiO₂ روی پارچه استفاده از پیوند دهنده‌های شیمیایی است. پیوند دهنده‌ها نیاز به حداقل ۲ گروه کربوکسیلیک آزاد دارند تا بتوانند به منسوج و TiO₂ اتصال یابند [۱۰]. بیشتر تحقیقات انجام شده در این زمینه روی منسوجات پنبه‌ای و پشمی به روش‌های گوناگون است. به هرحال در خصوص خودتمیزشوندگی کالای پشم/پلی استر گزارشی مشاهده نشده است.

این تحقیق با هدف ایجاد خاصیت خودتمیزشوندگی روی کالای مخلوط (پشم/پلی استر)، ثبیت نانو ذرات دی اکسید تیتانیوم به وسیله به کارگیری بوتان تترا کربوکسیلیک اسید، استفاده از حمام فراصوت جهت پراکنده کردن نانو ذرات و هم زمان رمک‌کشی آنها روی کالا و بررسی تأثیر فرآیند روی ویژگی‌های کالا توسط آزمون زردی انجام شده است.

در این تحقیق ابتدا برای ایجاد گروههای منفی بیشتر در جز پشمی منسوج مانند COO⁻ کالا اکسایش می‌یابد. سپس برای ثبیت نانو TiO₂ روی منسوج پشم/پلی استر از پایدارساز بوتان تترا کربوکسیلیک اسید استفاده شده است. عوامل مؤثر در فرآیند عملیات شامل مقدار TiO₂، مقدار اسید و زمان غوطه‌وری است. اثر خودتمیزشوندگی با دو رنگرای متیلن بلو (MB) و اسید بلو ۱۱۳ و نیز زردی حاصل شده تحت پرتودهی نور فرابینفش گزارش شده است. برخی خواص فیزیکی مثل زاویه بازگشت از چروک، طول خمش و جذب قطره آب بررسی شده است.

۲-بخش تجربی

۲-۱-مواد

پارچه پشم/پلی استر (۴۵-۵۵٪) ایران مرینوس، نانو P-25، TiO₂ از شرکت دگوسا، بوتان تترا کربوکسیلیک اسید (BTCA)، سدیم هیپو فسفیت (SHP)، کلرید سدیم، پرمنگات پتاسیم (۱۰٪)، هیدرو سولفات سدیم، اسید سولفوریک تمامًا از شرکت مرك آلمان تهیه گردیدند. متیلن بلو (MB) با نام ژنریک ۹ (C.I.Basic Blue 9) و غلظت L/g ۰,۵ و ساختار شیمیایی تیازین با طیف رنگی آبی مطابق ساختار ۱، رنگرای اسیدی با طیف رنگی آبی بنفش و نام ژنریک ۱ (C.I.Acid Blue 113) با غلظت g/L ۰,۵ و ساختار شیمیایی دی آزو مطابق ساختار ۲ مورد استفاده قرار گرفتند.

فرآیند پرتودهی و آزمایش‌های انجام شده بر روی منسوجات

تهیه شده

نمونه‌های عمل شده پس از لکه‌گذاری با قطره‌های MB و اسید بلو ۱۱۳ توسط بورت، تحت نور لامپ فرابنفش ۸ وات به مدت ۱۲ ساعت در فاصله 10 cm قرار می‌گیرند تا رنگبری انجام شود. داده‌های رنگی نمونه‌های لکه‌گذاری شده با متیلن بلو و نمونه‌های پرتودهی شده پس از ۱۲ ساعت با دستگاه اسپکتروفوتومتر اندازه‌گیری می‌شود تا بدین وسیله اختلاف رنگ ایجاد شده و همچنین ویژگی خودتمیزشوندگی بررسی شود. بعد از پرتودهی نمونه‌ها با نور فرابنفش، برخی از نمونه‌ها نسبت به قبل از پرتودهی زرد می‌شوند و اختلاف زردی آنها قبل و بعد از پرتودهی گزارش شده است.

همچنین از برخی نمونه‌های اصلاح شده، طیف زیر قرمز برای

نشان دادن گروه‌های منفی ایجاد شده گرفته شد.

آزمون جذب قطره آب طبق استاندارد BS ۴۵۵۴ انجام شد. زاویه بازگشت از چروک طبق استاندارد BS ۳۰۵۶ و طول خمش طبق استاندارد BS ۳۳۵۶ نمونه‌های عمل شده با TiO_2 اندازه گرفته شده است و با نمونه‌های عمل نشده مورد مقایسه قرار گرفته است.

۳- نتایج و بحث

عوامل مؤثر در فرآیند عملیات شامل مقدار نانو TiO_2 ، مقدار اسید و زمان غوطه‌وری در حمام فراصوت است. با تغییر این مقادیر ۷ نمونه عمل شده است که مقادیر مورد استفاده در عمل آوری نمونه‌ها در جدول ۱ آمده است.

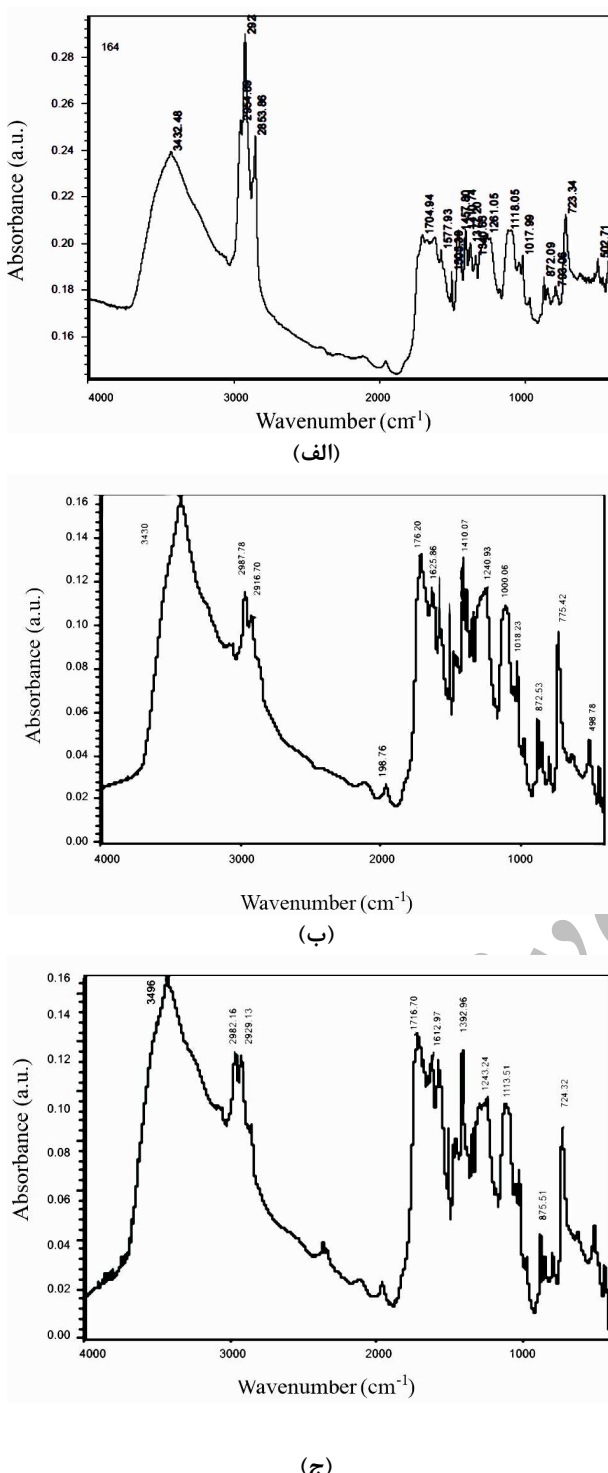
نمونه‌ها مطابق با مقادیر جدول ۱ تهیه می‌شوند، سپس آزمون‌های ذکر شده روی نمونه‌ها صورت گرفته و نتایج با نمونه خام و نمونه اکسید شده مقایسه شده‌اند.

طیف IR

با بررسی طیف زیر قرمز نمونه‌های خام، اکسید شده و اکسید و عمل شده با TiO_2 که در شکل ۳ آمده است، پیک‌های مربوط به گروه کربونیل اسید کربوکسیلیک مشاهده شده است.

پیک‌های موجود در محدوده 3400 cm^{-1} ، در تمام طیف‌ها نشان دهنده حضور گروه‌های OH می‌باشد که مربوط به گروه‌های عاملی موجود در پشم است. وجود یک پیک در محدوده $1700\text{--}1725\text{ cm}^{-1}$

در شکل ۱-ب نشان دهنده گروه کربونیل اسید کربوکسیلیک می‌باشد، که در طیف زیر قرمز از نمونه اکسید شده یک پیک قوی در 1716 cm^{-1} دیده شده است که مربوط به افزایش این گروه است [۱۱]. به هر حال با توجه به وجود انواع گروه‌های مختلف و هم‌بوشانی پیک‌های آنها در نمونه عمل شده با نانو ذرات دی اکسید تیتانیوم، شناسایی پیک‌های مشخص تیتانیوم که قله‌هایی در ناحیه زیر 1000 cm^{-1} ایجاد می‌کنند قابل شناسایی به طور مجزا نیستند [۱۲].



شکل ۱: نمودار FT-IR (الف) نمونه خام، (ب) نمونه اصلاح شده، (ج) نمونه اصلاح و عمل شده با دیسپرسیون نانو TiO_2 .

جدول ۱: مقادیر متغیرهای مورد استفاده در دیسپرسیون‌ها.

شماره نمونه	TiO ₂ (%)	BTCA (%)	SHP (%)	Time (min.)
۱	۰,۵	۱۰	۰	۳۰
۲	۰,۵	۰	۵	۳۰
۳	۰	۱۰	۵	۳۰
۴	۰,۷۵	۱۵	۲,۵	۱۵
۵	۰,۵	۱۰	۵	۳۰
۶	۰,۵	۲۰	۵	۳۰
۷	۱	۱۰	۵	۳۰

جدول ۲: شاخص زردی، زمان جذب قطره آب، طول خمش و زاویه بازگشت از چروک نمونه‌های عمل شده و عمل نشده.

شماره نمونه	زاویه بازگشت از چروک (درجه)	طول خمش (cm)	زمان جذب قطره آب(ثانیه)	شاخص زردی ASTM D 1925
۱	۱۴۸	۲,۲	۰	۰,۹
۲	۱۵۳	۲,۵	۶	۲,۱
۳	۱۵۰	۲,۴	۹۰	۹,۸
۴	۱۵۲	۲,۲	۰	۰,۸
۵	۱۵۰	۲,۴	۰	۱,۰
۶	۱۴۸	۲,۲	۰	۳,۳
۷	۱۵۲	۲,۳	۰	۰,۴
نمونه خام	۱۶۱	۱,۸	۱۳۰	۱۳,۴
نمونه اکسید شده	۱۶۲	۲,۱	۳	۱۰,۱۰

هر لیفی که در معرض پرتو فرابنفش قرار گیرد مقداری تخریب سطحی می‌شود که مقدار آن در لیفهای مختلف از سطح به سمت مغز لیف متفاوت است. گاهی مقدار این تأثیرات بر اثر افزایش جذب نور توسط محصولات حاصل از تجزیه نوری افزایش می‌یابد [۱۳].

قرار گرفتن الیاف پشم در معرض هوا، زمینه را برای اکسیداسیون نوری ترکیبات حاوی سیستین و تبدیل آنها به سیستئیک اسید فراهم می‌کند، که دو اثر عمده روزی لیف دارد یکی شکستن پیوندهای دی‌سولفیدی است که باعث تغییر مداوم تورم الیاف و انتقال رنگ می‌شود و دیگری ایجاد گروههای آبدوست و باردار است [۱۳]. زردی نمونه‌ها قبل و بعد از پرتوودهی مطابق ASTM D1925 از رابطه ۱ محاسبه گردید.

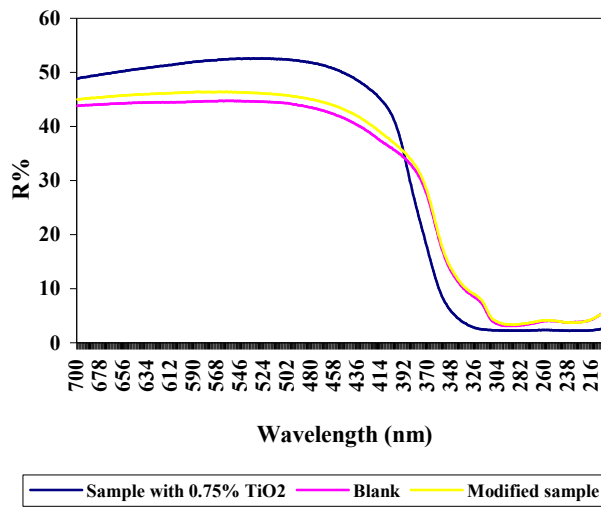
$$YID1925=100(1.275X-1.058Z)/Y \quad (1)$$

شاخص زردی، جذب قطره آب، زاویه بازگشت از چروک و طول خمش نمونه‌ها

شاخص زردی، جذب قطره آب، زاویه بازگشت از چروک، طول خمش پس از عمل با نانو ذرات TiO₂ در جدول ۲ آمده است.

یکی از مشکلاتی که برای پشم در صنعت وجود دارد، زرد شدن زیاد آن در مقابل امواج فرابنفش نسبت به سایر الیاف است. در پشم کروموفورهایی وجود دارند که نور مرئی را جذب می‌کنند و پشم در حالت عادی به رنگ کرم روشن دیده می‌شود [۱۳].

پرتوهای فرابنفش با طول موج بیش از ۳۲۰ nm دارای نفوذ کمی هستند و اکثر آنها توسط نواحی سطحی پشم و کوتیکول جذب می‌شوند [۱۴]. سطوحی مانند کوتیکول سطح خارجی پشم، که دارای گوگرد زیاد هستند، جاذب پرتو فرابنفش با امواج متوسط هستند.



شکل ۲: طیف انعکاسی نمونه خام، نمونه اصلاح شده و نمونه عمل شده با TiO_2 ۰٪ نانو

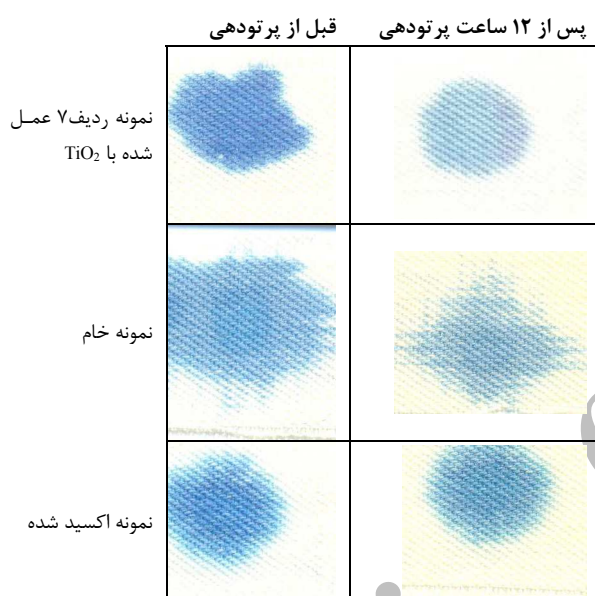
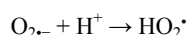
دی اکسید تیتانیوم به همراه عامل شبکه کننده، این ترکیبات روی سطح کالا اضافه شده و لایه غیریکنواختی را ایجاد می‌کنند که وجود ترکیب عامل شبکه کننده می‌تواند سبب سختی زیردست یا به عبارت دیگر افزایش طول خمش شود. با افزایش مقدار عامل شبکه کننده میزان طول خمش نیز افزایش یافته است. این شاخص به عنوان تعیین کننده زیردست می‌تواند در نظر گرفته شود که به هر حال سبب سختی زیردست شده است.

در حضور TiO_2 افزایش جذب قطره آب و کاهش زمان جذب قطره آب مشاهده می‌شود. خاصیت آبدوستی TiO_2 در اثر تابش پرتو فرابنفش به وجود می‌آید خاصیت آبدوستی این ماده باعث می‌شود تا قطرات آب روی سطوحی که با TiO_2 پوشانیده شده‌اند، همواره با زاویه‌ای بسیار کم قرار گیرند و تعامل به پخش شدن روی سطح و خیس کردن آن را داشته باشند. یکی از مکانیزم‌های مطرح در فرآیند آبدوستی TiO_2 به این صورت است که در اثر تابش پرتو فرابنفش با طول موج‌های کمتر از ۳۸۸ nm، الکترون‌ها انرژی لازم برای رفتان از تراز ظرفیت به تراز رسانا را پیدا می‌کنند و تشکیل زوج الکترون-حفره می‌دهند. الکترون‌ها تعامل دارند تا کاتیون‌های Ti^{4+} را به Ti^{3+} تبدیل کنند. Ti^{3+} تولید شده با اکسیژن مولکولی موجود در هوا واکنش داده و تبدیل به O_2^- شده و جذب سطح می‌شود. در اثر این واکنش، کاتیون‌های Ti^{3+} به کاتیون‌های Ti^{4+} تبدیل می‌شوند. حفره‌ها آنیون‌های O_2^- جذب شده روی سطح را اکسید کرده و در نتیجه مولکول TiO_2 به حالت اولیه خود بازگشته و اکسیژن مولکولی به صورت گاز از روی سطح خارج می‌شود. در اثر خارج شدن مولکول‌های اکسیژن از روی سطح فضاهای خالی اکسیژن به وجود می‌آیند که مولکول‌ها در این فضاهای خالی قرار گرفته و باعث می‌شوند تا سطح خاصیت آبدوستی پیدا کند. این خاصیت باعث می‌شود تا همواره

که در آن X Y Z محركه‌های سه گانه رنگ هستند. توسط دستگاه اسپکتروفوتومتر انعکاس نمونه‌ها به دست آورده می‌شود که با محاسبه مقادیر Z X از روی انعکاس، زردی از رابطه ۱ به دست می‌آید. محاسبه مقدار زردی نمونه‌ها حاکی از این است که پارچه عمل داده شده با TiO_2 قبل از پرتودهی از نمونه خام سفیدتر است که این نشان دهنده وجود TiO_2 روی سطح لیف پشم/پلی‌استر است. یکی از کاربردهای TiO_2 روی کالای پشمی استفاده از نقش محافظتی این ماده در برابر پرتوهای فرابنفش است. وجود ذرات TiO_2 روی سطح کالا مانع رسیدن نور به سطح پارچه شده و از زرد شدن و اکسیداسیون نوری پشم بر اثر پرتوهای فرابنفش جلوگیری می‌کند. نتایج نشان می‌دهد نمونه‌هایی که درصد TiO_2 بر سطح آنها بیشتر است زردی کمتری را پس از پرتودهی نسبت به قبل از آن از خود نشان می‌دهند. این نتایج با نتایجی که از تحقیق مشابه توسط دانشمندان استرالیایی به دست آمده مطابقت دارد [۱۵، ۱۶].

در رابطه با تأثیر سیستم موجود در پشم روی زردی، تحقیقات زیادی شده است. محصولات حاصل از اکسیداسیون سیستم در طول مدت پرتودهی روی سطح خارجی سلول‌های کوتیکول تشکیل می‌شوند [۱۳، ۱۴]. مقدار زیاد اینگونه محصولات که جاذب امواج فرابنفش هستند نوعی پوشش را روی لایه خارجی لیف ایجاد می‌کنند که سبب نوعی مقاومت در برابر پرتوهای دریافتی خواهد شد، مخصوصاً اینکه این محصولات بدون رنگ هستند. بر طبق این نتایج سیستم مسؤول زردی پشم نیست و نقش محافظتی در برابر نور دارد و در مدت زمان زیاد نوردهی باعث کاهش زردشدنگی است [۱۴، ۱۶]. دی اکسید تیتانیوم به طور ذاتی جاذب پرتو فرابنفش است و از رسیدن پرتوهای مضر به سطح لیف جلوگیری می‌کند. شکل ۲ طیف انعکاسی نمونه خام، نمونه اکسید شده و نمونه عمل شده با نانو TiO_2 را نشان می‌دهد. طبق شکل ۲ نمونه عمل شده با ۰٪ نانو TiO_2 را نشان می‌دهد فرابنفش دارد و نشان می‌دهد این ماده جاذب نور فرابنفش است در نتیجه از زرد شدن نمونه‌ها جلوگیری می‌کند. یکی از نشانه‌های تخرب کالای نساجی زردی آن است. با توجه به اینکه زردی کالا پس از عمل با نانو ذرات دی اکسید تیتانیوم کاهش یافته است در نتیجه به نظر می‌رسد که نه تنها تأثیر منفی روی کالا بلکه به عنوان یک جاذب فرابنفش عمل کرده و از تخرب نوری کالا نیز جلوگیری کرده است.

نتایج نشان می‌دهد که زاویه بازگشت از چروک نمونه‌ها نسبت به نمونه خام به مقدار کم کاهش می‌یابد. این کاهش جزئی می‌تواند به دلیل ایجاد پیوندهای جدید در ساختار پروتئین پشم در نظر گرفته شود که سبب می‌شود تا نظم اولیه اتصالات زنجیره‌ها به هم خورد و نظم جدیدی ایجاد شود. این نظم جدید همراه با کاهش کمی در زاویه بازگشت از چروک است. همچنین مقادیر طول خمش نمونه‌های عمل شده نسبت به نمونه خام افزایش یافته است. با کاربرد ترکیب نانو



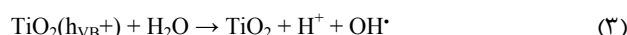
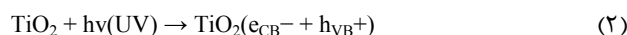
شکل ۳: خودتمیزشوندگی لکه متیلن بلو پس از ۱۲ ساعت پرتودهی فرابنفش ۸ وات.

به جای قطره‌های آب با زاویه زیاد روی سطح، یک لایه نازک از آب روی سطح تشکیل شود [۱۷-۱۹]. افزایش آبدوستی به وسیله به کارگیری نانو اکسید تیتانیوم با توجه به نوع نانو دی اکسید تیتانیوم با یافته‌های دیگران در خصوص ترکیب TiO_2 -Degussa-P25 مطابقت دارد [۲۰].

رنگ‌سنجی و تجزیه فتوکاتالیستی لکه متیلن بلو در شرایط پرتودهی فرابنفش

نتایج رنگ‌سنجی نمونه‌های عمل شده و لکه‌گذاری با متیلن بلو، نمونه خام، نمونه اکسید شده قبل و بعد از پرتودهی در جدول ۳ آمده است. نتایج خود تمیز شوندگی لکه MB روی نمونه‌های مختلف پس از پرتودهی با پرتو فرابنفش به مدت ۱۲ ساعت با مشاهده بصری مطابقت دارد. شکل ۳ نتایج بی‌رنگی لکه‌ها پس از پرتودهی را نشان می‌دهد. شکل ۳ شامل نمونه خام، اکسید شده و نمونه حاوی نانو ذرات دی اکسید تیتانیوم است. در این شکل نشان داده شده است که نمونه حاوی نانو ذرات دی اکسید تیتانیوم خودتمیزشوندگی بیشتری دارد.

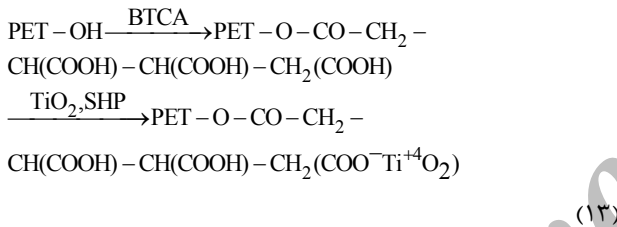
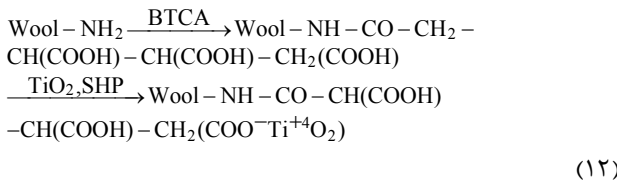
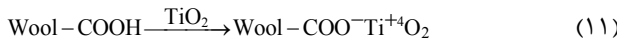
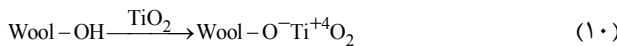
خودتمیزشوندگی منسوجات عمل شده با TiO_2 می‌تواند به دلیل ایجاد واسطه‌های اکسنده در سطح منسوج در نظر گرفته شود. تجزیه متیلن بلو نیز توسط نانو دی اکسید تیتانیوم می‌تواند بر همین اساس انجام شود. واکنش‌های اکسایشی انجام شده پس از پرتودهی، در واکنش‌های ۲ تا ۶ آورده شده است [۲۱].



جدول ۳: مقادیر مؤلفه‌های رنگی و اختلاف رنگ نمونه‌های لکه شده با متیلن بلو.

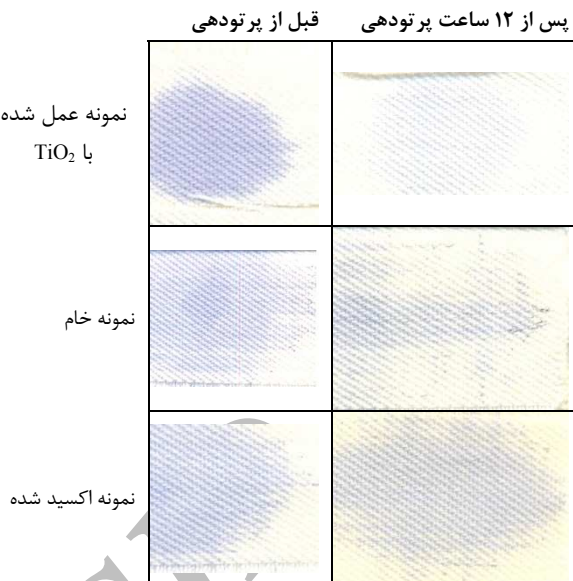
شماره نمونه	قبل از پرتودهی			پس از پرتودهی				$\Delta E (\text{D} 65-10)$
	L*	a*	b*	L*	a*	b*		
۱	۶۵	-۵	-۳۶	۸۱	-۸	-۱۷	۲۵,۰	
۲	۶۰	۸-	۳۵-	۶۲	-۱۰	-۱۹	۱۶,۳	
۳	۵۷	-۴	-۳۶	۶۱	-۶	-۲۲	۱۴,۷	
۴	۶۰	-۴	-۳۶	۸۰	-۱۰	-۲۲	۲۵,۴	
۵	۵۸	-۵	-۳۸	۸۱	-۱۱	-۲۰	۲۹,۸	
۶	۵۸	-۵	-۳۶	۸۲	-۱۲	-۱۸	۳۰,۸	
۷	۵۶	-۲	-۳۹	۸۳	-۱۲	-۱۷	۳۶,۲	
نمونه خام	۶۱	-۱۲	-۳۰	۶۰	-۱۳	-۲۱	۹,۱	
نمونه اکسید شده	۶۱	-۱۱	-۳۴	۶۳	-۱۲	-۲۲	۱۲,۲	

عاملی آن محدود است در نتیجه فرآیند تکمیل روی کالای پلی‌استر بیشتر به شکل حبس فیزیکی نانو ذرات در نظر گرفته می‌شود. در حالی که در الیاف پشم به جهت ساختار باز آن و دارا بودن گروه‌های عاملی زیاد به همراه عملیات اکسیداسیون، توانایی ایجاد پیوند یونی با نانو ذرات دی اکسید تیتانیوم را علاوه بر حبس فیزیکی دارا می‌باشد. به این ترتیب پیوندهای محکمی با سطح منسوج و TiO_2 برقرار می‌شود. تعدادی از پیوندهای صورت گرفته در واکنش‌های ۱۰ تا ۱۳ آمده است.



۴- نتیجه‌گیری

این تحقیق با هدف بهبود ویژگی خودتمیزشوندگی پایدار روی کالای پشم/پلی‌استر با استفاده از انجام عملیات قبلی با اکسیدکننده به همراه نانو دی اکسید تیتانیوم دنبال شده است. نتایج نشان می‌دهند که استفاده از عملیات قبلی با اکسید کننده می‌تواند به بهبود جذب نانو دی اکسید تیتانیوم کمک کند و با استفاده از نانو TiO_2 به همراه BTCA به روش غوطه‌وری در حمام فراصوت می‌توان خودتمیزشوندگی پایدار روی کالای پشم/پلی‌استر به دست آورد. نمونه‌های عمل شده با TiO_2 و لکه‌گذاری شده پس از پرتوهایی با پرتو فرابنفش خودتمیزشوندگی از خود نشان می‌دهند. زردی نمونه‌های عمل شده با TiO_2 نسبت به نمونه‌های خام و اکسید شده کمتر است و TiO_2 به عنوان محافظت از کالا در برابر پرتو فرابنفش می‌تواند در نظر گرفته شود. میزان جذب قطره آب نمونه‌های عمل شده بهبود یافته ولی میزان زاویه بازگشت از چروک به مقداری کمی کاهش یافته و میزان طول خمش افزایش یافته است. با توجه به روش به کار گرفته شده در این تحقیق امکان تولید زیاد به روش مذکور وجود دارد.



شکل ۴: خودتمیزشوندگی لکه اسید بلو ۱۱۳ پس از ۱۲ ساعت پرتوهایی نور فرابنفش ۸ وات.

مقدار TiO_2 ، مقدار BTCA، زمان غوطه‌وری در حمام فراصوت از پارامترهای مؤثر بر نتایج بی‌رنگی لکه‌ها و خودتمیزشوندگی است. الیاف پشم با کمتر از ۵۰٪ گروه‌های عاملی باید یک اصلاح شیمیایی را تحمل کنند تا بتوانند پیوند پایدار با نانو بلورهای TiO_2 دهند. بنابراین، نمونه‌های اکسید شده از آنجایی که جز پشمی برای پیوند با TiO_2 آمده می‌شود، در مقایسه با نمونه‌های اکسید نشده اختلاف رنگ مناسب‌تری را نشان می‌دهند، که به دلیل اکسایش و ایجاد گروه‌های عاملی قوی روی منسوج علاوه بر گروه‌های عاملی اسیدهای آمینه پشم مثل آمین، هیدروکسیل، فنل و تیول می‌باشد. یکی دیگر از عوامل مؤثر بر نتایج خودتمیزشوندگی نوع لکه رنگزا و ماهیت آن است، به طوری که در نمونه عمل شده با TiO_2 که با رنگزای اسید بلو ۱۱۳ لکه‌گذاری شده است، بی‌رنگی بیشتری نسبت به متیلن بلو پس از پرتوهایی به دست آمده است. این بی‌رنگی در شکل ۴ نشان داده شده است.

پیوند نانو TiO_2 با سطح پارچه طبیعت الکترواستاتیک دارد، یعنی TiO_2 شارژ مثبت و سطح منسوج عمل شده شارژ منفی دارد. به دلیل داشتن ۴ گروه عاملی، پیوند دهنده قویتری نسبت به سیتریک اسید است و امکان پیوند بیشتر بین TiO_2 و سطح منسوج را دارد و تجزیه فتوکاتالیستی ناشی از آن نتایج بهتری می‌دهد. واکنش با گروه‌های عاملی منسوج نیز به خصوص گروه‌های عاملی پشم مثل گروه‌های هیدروکسیل و کربوکسیل و در پلی‌استر گروه کربوکسیل و هیدروکسیل، با توجه به مقدار بسیار کم این گروه‌ها در پلی‌استر انجام می‌گیرد. الیاف پلی‌استر ساختار متراکم داشته و دسترسی به گروه‌های

۵- مراجع

1. A. Bozzi, T. Yuranova, I. Guasaquillo, D. Laub, J. Kiwi, Self-cleaning of modified cotton textiles by TiO₂ at low temperatures under daylight irradiation. *Photochem. Photobiol. A*: 174(2005), 156-164.
2. R. Zukerman, MSc. thesis, Photocatalytic properties of nanocrystalline Titania, *Ben-Gurion University of the Negev*. (2003), 1-14.
3. R. Bhava, MSc thesis, Synthesis and photocatalysis study of brookit phase titanium dioxide nanoparticles. *Clemson University*, (2007), 1-28.
4. M. J. Uddin, F. Cesano, F. Bonino, S. Bordiga, G. Spoto, D. scarano, A. Zecchina, Photoactive TiO₂ film on cellulose fibers: Synthesis and charachterization. *Photochem. Photobiol. A*: 189(2007), 286-294.
5. D. Zare-Hosseini-abadi1, A. Ershad-Langroudi, A. Rahimi, Preparation of anatase nanoparticles thin film coatings by sol-gel method at low temperature and investigation of their photocatalytic activities. *J. Color Sci. Technol.* 3(2009), 121-129.
6. T. Yuranova, D. Laub, J. Kiwi, Synthesis, activity and characterization of textile showing self-cleaning activity under daylight irradiation. *Catal. Today*. 122(2007), 109-117.
7. T. Yuranova, R. Mosteo, J. Bandara, Self-cleaning cotton textiles surfaces modified by photoactive, SiO₂/TiO₂ coating. *Mol. Catal. A*. 244(2006), 160-167.
8. A. Bozzi, T. Yuranova, J. Kiwi, Self-cleaning of wool/polyamide and polyester textiles by TiO₂-rutile modification under daylight irradiation at ambient temperature. *Photochem. Photobiol. A*. 1172(2005), 27-34.
9. W. A. Daoud, S. K. Leung, Self-cleaning keratins. *Chem. Mater.* 20(2008), 1242-1244.
10. K. T. Meilert, D. Laub, J. Kiwi, Photocatalytic self-cleaning of modified cotton textile by TiO₂ clusters attached by chemical spacer. *Mol. Catal. A*. 237(2005), 101-108.
11. B. Movasegh, Introduction to Spectroscopy, elmi & fanni Pub. Tehran (2001), 17 (in Persian).
12. M. Ivanda, S. Music, S. Popović, M. Gotić, XRD, Raman and FT-IR spectroscopic observation of nanosized TiO₂ synthesized by the sol-gel method based on an esterification reaction. *Mol. Struct.* 480(1999), 645-649.
13. B. Ma, C. Zheng, R. Sun, Physical properties of surface oxidized wool. *Text. Res. J.* 73 (2003), 1100-1102.
14. J. Dusenbury, E. H. Mercer, J. H. Wakelin, The influence of chemical treatment on the properties of wool: Alkali solubility as a measure of sulfuric acid degradation. *Text. Res. J.* 24(1954), 890-893.
15. H. Zhang, K. R. Millington, X. Wang, The photostability of wool doped with photocatalytic titanium dioxide nanoparticles. *Polym. Degrad. Stab.* 94(2009), 278-283.
16. M. Montazer, E. Pakdel, Improving the stability of wool fabric against ultraviolet using nano titanium dioxide and butane tetra carboxylic acid (BTCA). *J. Color Sci. Technol.* 3(2009), 233-241.
17. R. Wang, K. Hashimoto, A. Fujishima, Light-induced amphiphilic surface. *Nat.* 388(1997), 431-432.
18. J. Yu, X. Zhao, Effect of surface treatment on the photocatalytic activity and hydrophilic property of the sol-gel derived TiO₂ thin film. *Mater. Res. Bull.* 36(2001), 97-107.
19. K. Honda, A. Fujishima, Electrochemical photolysis of water at a semiconductor electrode. *Nat.* 238(1972), 37-38.
20. B. Erdem, R. A. Hunsicker, G. W. Simmons, E. D. Sudol, V. L. Dimonie, M. S. El-Aasser, XPS and FT-IR surface characterization of TiO₂ particles used in polymer encapsulation. *Langmuir*. 17(2001), 2664-2669.
21. I. K. Konstantinou, T. A. Albanis, TiO₂-assisted photocatalytic degradation of azo dyes in aqueous solution: kinetic and mechanistic investigations A review. *Appl. Catal. B*. 49(2004), 1-14.